

مجله پژوهشی دانشگاه علوم پزشکی تبریز

دوره ۳۴ شماره ۴ مهر و آبان ۱۳۹۱ صفحات ۱۰۶-۹۸

شناسایی ژنهای کد کننده پروتئین های متصل شونده به فاکتورهای ویرولانس کلاژن (Cna) و فیرونکتین (FnB) در ایزوله های *Staphylococcus aureus* جمع آوری شده از نمونه های بالینی و بینی با روش Multiplex – PCR

عاطفه کیاوری: گروه میکروبشناسی، دانشکده پزشکی، دانشگاه آزاد اسلامی واحد تبریز، تبریز، ایران
آلکا حسنی: مرکز تحقیقات بیماریهای عفونی و گرمیسری، گروه میکروبشناسی بالینی، دانشکده پزشکی، دانشگاه علوم پزشکی تبریز، تبریز، ایران،
نویسنده رابط:

E-mail: hasanialka@tbzmed.ac.ir

هائدہ مبین: گروه میکروبشناسی، دانشکده پزشکی، دانشگاه آزاد اسلامی واحد تبریز، تبریز، ایران
محمد آقازاده: گروه میکروبشناسی بالینی، دانشکده پزشکی، دانشگاه علوم پزشکی تبریز، تبریز، ایران
اکبر حسنی: گروه بیوشیمی و آزمایشگاههای بالینی، دانشکده پزشکی، دانشگاه علوم پزشکی تبریز، تبریز، ایران
مجتبی روشچی: مرکز تحقیقات بیماریهای عفونی و گرمیسری، گروه بیماری های عفونی، دانشکده پزشکی، دانشگاه علوم پزشکی تبریز، تبریز، ایران
محمد آهنگر زاده رضایی: گروه میکروبشناسی بالینی، دانشکده پزشکی، دانشگاه علوم پزشکی تبریز، تبریز، ایران
لیلا دهقانی: آزمایشگاه میکروب شناسی، بیمارستان سینا، دانشگاه علوم پزشکی تبریز، تبریز، ایران

دریافت: ۹۰/۸/۹ پذیرش: ۹۰/۱۱/۲۷

چکیده

زمینه و اهداف: استافیلوکوکوس اورئوس دارای ژن های کد کننده فاکتورهای ویرولانس متعددی می باشد که به طور مجزا یا بصورت توأم عفونت های متعددی را ایجاد می کنند. هدف از این تحقیق، بررسی ژنهای مربوط به فاکتورهای ویرولانس شامل پروتئین های متصل شونده به کلاژن (Cna) و فیرونکتین (FnB) در سویه های *Staphylococcus aureus* جدا شده از نمونه های بالینی مختلف و بینی بیماران بیمارستان های علوم پزشکی تبریز می باشد.

مواد و روش ها: در محدوده زمانی مرداد تا بهمن ماه سال ۱۳۸۸، تعداد ۱۹۳۶ نمونه بالینی مختلف و ۵۰۴ نمونه بینی بیماران قلبی اخذ شد. ایزوله های *S. aureus* به وسیله روش های فنوتیپی شناسایی و با ردیابی ژن های *nuc* و *femB* یا *cna* یا *fnb* PCR مورد تأیید واقع شدند. ایزوله های MRSA با استفاده از روش دیسک دیفیوژن آکار شناسایی و جهت ردیابی ژن *mecA* از روش PCR استفاده شد. ژن های *nuc*, *femB*, *cna* و *mecA* با استفاده از روش PCR Multiplex و ژنهای *cna* و *fnb* یا استفاده از روش های PCR و Multiplex PCR مورد بررسی قرار گرفتند.

یافته ها: از ۱۹۳۶ نمونه بالینی مختلف و ۵۰۴ نمونه بینی به ترتیب ۱۲۱ و ۲۱۴ ایزوله غیر تکراری شد. در ۹۹/۸٪ ایزوله های بالینی و ۲۹/۱٪ ایزوله های جدا شده از بینی، ژن *cna* شناسایی شد. ژن *cna* به ترتیب در ایزوله های جدا شده از آرتربیت عفونی، استئومیلت و آندوکاردیت شیوع بالاتری داشت. ژن *fnb* در ۲۹/۶۵٪ ایزوله های بالینی و ۷/۶۵٪ ایزوله های بینی شناسایی شد و به ترتیب در بیماری های آندوکاردیت، استئومیلت و زخم های مربوط به سوتختگی فراوانی بالاتری داشت. هم در ایزوله های بالینی و هم در ایزوله های بینی، شیوع فاکتورهای ویرولانس در سویه های MSSA بیشتر از *MRSA* بود.

نتیجه گیری: نتایج این تحقیق نشان داد که مطالعه ژن های *nuc*, *femB* و *mecA* در یک تست همزمان، نه تنها به شناسایی ایزوله های *S. aureus* کمک می کند، بلکه در ردیابی اختصاصی و سریع ایزوله های *MRSA* مفید می باشد. تحقیق حاضر نشان داد که شیوع فاکتورهای ویرولانس در ایزوله های بالینی بیشتر از بینی و در ایزوله های *MRSA* بیش از ۹۹٪ بوده که نشاندهنده نقش حضور همزمان این فاکتورها در تهاجم و بیماری زانی این ایزوله ها می باشد.

کلید واژه ها: استافیلوکوکوس اورئوس، فاکتورهای ویرولانس، کلاژن، فیرونکتین

مقدمه

ادهزین‌ها برای کلاژن، با آرتیریت و استئومیلیت ارتباط دارد.^(۶) به دلیل اهمیت بیماری‌های ایجاد شده به وسیله سویه‌های *S.aureus* حساس و مقاوم به متی سیلین، این تحقیق در نظر داشت زنهای فاکتورهای ویرولانس Cna و FnB را در سویه‌های *S.aureus* جدا شده از نمونه‌های بالینی و بینی بیماران بیمارستان‌های دانشگاه علوم پزشکی تبریز بررسی نماید تا ارتباط بین فاکتورهای ویرولانس مذکور و بیماری‌های به وجود آمده مشخص گردد.

مواد و روش‌ها

جمعیت مورد مطالعه در این تحقیق ایزوله‌های استافیلوکوکوس اورتوس جدا شده از نمونه‌های بالینی مختلف بیماران مراجعت کننده و بسترهای در بیمارستان و نمونه‌های اخذ شده از بینی بیماران بسترهای در مرکز آموزشی-درمانی دانشگاه علوم پزشکی تبریز (امام رضا، شهید مدنی، سینا) بود. به این صورت که در فاصله زمانی مرداد تا بهمن ماه ۱۳۸۸، از تعداد ۱۹۳۶ نمونه بالینی مختلف شامل: خون، ادرار، زخم، مایع مغزی-نخاعی، مایعات بدن، لوله تراشه، آبسه و نازوفارنکس از بیماران مورد مطالعه جمع‌آوری و مورد بررسی قرار گرفتند. در همین محدوده زمانی از ۵۰۴ بیمار قلبی بسترهای شده در بیمارستان نمونه بینی تهیه شد. در تهیه نمونه از بینی بیماران از هر بیمار ۲۲۴ و ۷۲ ساعت پس از پذیرش، با استفاده از سواب از سوراخ‌های قدامی بینی نمونه برداری به عمل آمد. اطلاعات بیماران اعم از جنس، سن، تاریخ پذیرش، بخش بسترهای زمان بسترهای، سابقه بیماری قلبی، تاریخ نمونه‌برداری، علت بسترهای ثبت گردیده و مورد بررسی قرار گرفت.

میکروگانیسم‌های جدا شده با استفاده از روش‌های متداول فنوتیپیک شامل مورفولوژی کلینی روی بلاد آگار و مانیتول سالت آگار، نوع همولیز، رنگ آمیزی گرم، تست کاتالاز، آزمایش کواگلاز اسلامی و لوله ای و تست DNase شناسایی شدند.^(۷) جهت تائید قطعی ایزوله‌های *S.aureus* ردیابی زنهای نوکلئاز پایدار در برابر حرارت (*nuc*) و فاکتور ضروری غشاء (*femB*) با روش PCR انجام شد. ابتدا جهت شناسایی سویه‌های *S.aureus* مقاوم به متی سیلین (MRSA)، از روش دیسک دیفیوژن آگار (Kirby-Bauer) با بکار بردن دیسک‌های Mast Diagnostics، اگزاسیلین (۱ μ g) و سفوکسی تین (۳۰ μ g)^{(۸) استفاده شد. در تأیید MRSA ردیابی زن A *mecA* به وسیله PCR به عنوان روش مرجع بکار گرفته شد. در این مطالعه، سویه استاندارد *S.aureus* ATCC29213 به عنوان ایزوله حساس به متی سیلین بکار گرفته شده و نتایج با مقادیر استاندارد مقایسه شد.^(۸)}

جهت ردیابی زنهای *S.aureus*، *femB*، *nuc*، *mecA* و *fmb* روش مولکولی PCR و multiplex-PCR ابتدا DNA ایزوله

یک باکتری بیماریزای مهم انسانی *Staphylococcus aureus* است. این باکتری دارای زن‌های کد کننده فاکتورهای ویرولانس متعدد می‌باشد که بر روی کروموزوم یا زنهای متحرک قرار گرفته‌اند. این فاکتورها موجب کلونیزاسیون میزبان، تهاجم به پوست آسیب دیده و موکوس، انتشار در بدن و فرار از مکانیسم‌های دفاع میزبان می‌شوند. ۳۰-۵۰٪ جمعیت انسانی در بینی خود، این ارگانیسم را حمل می‌کنند. بیماریزایی *S.aureus* به طور مرحله به مرحله ایجاد می‌شود و محققین پی برده‌اند که در هر مرحله یک یا چند فاکتور ویرولانس به خصوص، دارای نقش می‌باشد. امروزه علیرغم درمان‌های مناسب، عفونت‌های شدید مرتبط با *S.aureus* و به خصوص سویه‌های مقاوم به متی سیلین موجب میزان بالای مرگ و میر می‌شود.^(۱) دارای یکسری پروتئین‌های سطح سلولی می‌باشد که به عنوان ادهزین عمل می‌کنند و قادرند به پروتئین‌های ماتریکس خارج سلولی سطح اپیتلیال و آندوتیال

{Microbial Surface Components Recognizing Adhesive Matrix Molecules (MSCRAMMs)} متصل شوند.^(۲) این اتصال میکروگانیسم‌ها به پروتئین‌های ماتریکس قدم اول در فرآیند بیماریزایی است و منجر به کلونیزاسیون و تهاجم بعدی باکتری به سلول میزبان می‌شود. ادهزین‌ها به عنوان مهمترین فاکتورهای ویرولانس در فاز ابتدایی عفونت *S.aureus* به شمار می‌آیند. رایجترین پروتئین‌های مرتبط با ویرولانس مستقر در دیواره سلولی *S.aureus* عبارتند از: پروتئین‌های دارای تمایل به فیرونوتین (Cna)، کلاژن (FnBA)، ClfA، B (ClfA، B)، فیرونوتکتین (BbP) و الاستین (EbPS).^(۳) پروتئین متصل شونده به کلاژن (Cna) ادهزین اصلی *S.aureus* می‌باشد که مسئول تمایل بالای اتصال به کلاژن بوده و احتمال داده می‌شود که یک فاکتور ویرولانس اصلی در عفونت و بیماری باشد. در مدل‌های آرتیریت عفونی، استئومیلیت، کراتینیت، و آندوکاردیت، موتانت‌های فاقد زن *cna* کمتر از ایزوله والد بیماریزا هستند. اخیراً در مطالعه‌ای نشان داده شده است که در مقایسه با سویه‌های کلونیزه کننده، زن *cna* به ندرت در سویه‌های مهاجم مشاهده شده است.^(۴) فیرونوتکتین، پروتئین دیگری در بین سایر پروتئین‌های سطح سلولی است که به طور اختصاصی به پروتئین‌های خارج سلولی ماتریکس و پلاسمای میزان متصل می‌شود. دو پروتئین بسیار همولوگ متصل شونده به فیرونوتکتین، FnBPB و FnBPA، کد شونده به وسیله زنهای *fmbA* و *fmbB* شناسایی شده‌اند و نشان داده شده که این پروتئین‌ها در چسییدن به دریچه‌های آسیب دیده قلب دخالت داشته و ورود داخل سلولی *S.aureus* را به واسطه سلول‌های اپیتلیال بیشتر می‌کنند.^(۵) تحقیقات دانشمندان بر روی مدل‌های آزمایشگاهی نشان داده است که بیان رسپتورها برای فیرونوتکتین با آندوکاردیت مرتبط بوده در حالی که حضور

یافته‌ها

از تعداد ۱۹۳۶ نمونه بالینی مختلف مورد مطالعه، تعداد ۱۲۱ (۶٪) ایزوله *S.aureus* شامل ۶۳ ایزوله از زخم، ۲۴ ایزوله از خون، ۱۲ ایزوله از ادرار و ۲۲ ایزوله از سایر نمونه‌ها و از ۵۰۴ نمونه اخذ شده از بینی بیماران بسترهای، ۲۱۴ (۴۶٪) ایزوله *S.aureus* جداسازی شد.

پس از جداسازی و شناسایی ایزوله‌ها با روش‌های متداول فنوتیپی، جهت تأیید ایزوله‌های *S.aureus* با استفاده از روش PCR ژن *nuc* و ژن *femB* استفاده شد و همه سویه‌های بالینی و نمونه‌های اخذ شده از بینی باندی واضح با اندازه مورد نظر را تولید کردند (شکل ۱).

در شناسایی سویه‌های MRSA با استفاده از روش‌های فنوتیپی با بکار بردن آنتی‌بیوتیک‌های اگزاسیلین و سفوکسیتین، سویه‌های بالینی و بینی به ترتیب ۶۳/۶۴٪ و ۲۵/۲۳٪ نسبت به اگزاسیلین و ۷۰/۵۶٪ و ۵۱/۲۴٪ نسبت به سفوکسیتین مقاومت نشان دادند و در رديابی ژن *mecA* به عنوان روش "استاندارد طلایی" با روش PCR در کل ایزوله‌های جدا شده از نمونه‌های بالینی و بینی، تعداد ۵۵ سویه (۴۵٪) بالینی و ۴۹ سویه (۲۲٪) بینی محصول ژن فوق را تولید نموده و به عنوان سویه‌های MRSA در نظر گرفته شدند (شکل ۱).

نتایج Multiplex PCR ژن‌های *nuc* و *mecA* در تمام *femB* ایزوله‌ها عیناً مشابه با روش PCR بود (شکل ۱). در رديابی ژن‌های *cna* و *fnb* با روش PCR در سویه‌های جدا شده از نمونه‌های بالینی به ترتیب تعداد ۹۸ (۹۹٪) و ۷۹ (۶۵٪) در سویه‌های جدا شده از بینی به ترتیب تعداد ۳۷ (۱۷٪) و ۱۱۷ (۵۴٪) باند مورد نظر ژنهای فوق مشاهده شد (شکل ۲).

نتایج Multiplex PCR ژن‌های *cna* و *fnb* در تمام ایزوله‌ها عیناً مشابه با روش PCR بود (شکل ۲). در بین ۱۲۱ سویه بالینی و ۲۱۴ سویه بینی به ترتیب ۱۱۴ سویه (۹۴٪) و ۱۹۹ سویه (۹۲٪) حداقل یکی از ژن‌های *cna* یا *fnb* را داشتند. ۷ سویه بالینی و ۱۵ سویه بینی فاقد هر دو ژن فاکتورهای ویرولانس مورد مطالعه بودند.

حضور ژن *cna* و *fnb* در نمونه‌های بالینی اخذ شده از بیماران با سابقه بیماریهای مختلف نیز مورد بررسی واقع شد. بیشترین حضور ژن *cna* در ایزوله‌های جدا شده از آرتربیت عفونی (۴۳٪) مورد، استثومیلیت (۳۱٪) مورد و آندوکاردیت (۲۴٪) مورد، گزارش شد ($p < 0.05$). در هیچ یک از ایزوله‌های جدا شده از زخم‌های مربوط به سوختگی، عفونت‌های پوست و بافت نرم، آبسه‌های پوستی، پنومونی، باکتریمی و سپتی سمی، این ژن یافت نشد. بیشترین شیوع ژن *fnb* در آندوکاردیت (۳۹٪) مورد، و سپس استثومیلیت (۲۳٪) مورد بوده است ($p < 0.05$). کمترین شیوع این ژن به ترتیب در عفونت‌های پوست و بافت نرم (۲٪ مورد)، پنومونی (۳٪ مورد)، آرتربیت عفونی (۵٪ مورد) و زخم‌های مربوط

های مورد مطالعه با استفاده از روش SDS-Proteinase K استخراج شد. محصول استخراج در $1\text{ }\mu\text{l}$ محلول بافر TE حل و در 20°C -تا زمان استفاده، نگهداری شد (۰/۹۶٪). توالی پرایمرهای اختصاصی مورد استفاده جهت شناسایی ژن‌های *fnb*، *cna*، *mecA*، *femB*، *nuc* در جدول ۱ نشان داده شده است (۱۰-۱۴). این پرایمرها از کارخانه Eurofins آلمان خریداری شدند.

ابتدا هر یک از ژن‌های مورد مطالعه به طور جداگانه با روش PCR مورد بررسی واقع شدند و قطعات مورد نظر با اندازه ذکر شده در جدول ۱ شناسایی شدند. در مرحله بعد مجدداً با روش *femB*، *mecA*، *nuc* و دو ژن Multiplex PCR فاکتورهای ویرولانس *cna* و *fnb* در ایزوله‌های مورد مطالعه مورد بررسی واقع شدند.

واکنش PCR با استفاده از $1\text{ }\mu\text{l}$ ۲۵ مخلوط واکنش انجام شد. ترکیب مواد مورد استفاده برای واکنش به طور جداگانه برای هر کدام از ژن‌های *femB*، *cna*، *mecA*، *nuc* حاوی $10\text{ }\mu\text{l}$ آب دیونیزه، $0.8\text{ }\mu\text{l}$ PCR (10X) MgCl_2 (50mM)، $0.8\text{ }\mu\text{l}$ dNTPmix (10mM)، $0.5\text{ }\mu\text{l}$ از هر یک از پرایمر $200\text{ }\text{pmol}$ ، TaqDNA Reverse و Forward پلیمراز و $0.5\text{ }\mu\text{l}$ باکتریایی بود. فقط برای ژن *nuc* مقدار $1\text{ }\mu\text{l}$ آب دیونیزه و $0.6\text{ }\mu\text{l}$ MgCl_2 (50mM) مورد استفاده قرار گرفت.

مقادیر مواد مورد استفاده جهت واکنش ژن Multiplex-PCR

های *cna* و *fnb* Multiplex-PCR *mecA*، *femB*، *nuc* مقدار $1\text{ }\mu\text{l}$

عنیناً مشابه مقادیر بکار گرفته شده در روش PCR بود؛ با این تفاوت که در گروه اول $1\text{ }\mu\text{l}$ و در گروه دوم $0.7\text{ }\mu\text{l}$ و در گروه دوم $0.7\text{ }\mu\text{l}$ دیونیزه به کار برده شد.

ترکیب اجزاء مورد استفاده جهت واکنش Multiplex-PCR ژن *nuc* و *mecA*، *femB*، *cna* و *fnb* همچنین نیز از همان مقادیر استفاده شد با این تفاوت که در گروه اول $1\text{ }\mu\text{l}$ و در گروه دوم $0.7\text{ }\mu\text{l}$ دیونیزه به کار برده شد.

برنامه دستگاه ترموسایکلر در آزمایشات PCR و Multiplex PCR برای تمام ژنها ۳۰ سیکل و برای ژن‌های *femB*، *mecA*، *nuc* برای تمام ژنهای مورد مطالعه به جز 94°C *nuc* به مدت ۴ دقیقه و در ژن *nuc* به مدت ۲ دقیقه بوده است. مراحل تکثیر ژن‌های مورد مطالعه در روش‌های PCR و Multiplex-PCR در جدول ۲ نشان داده شده است. تکثیر نهایی برای انجام PCR ژن‌های *cna*، *mecA*، *nuc* و *fnb* بطور جداگانه و برای انجام 72°C در دمای *femB*، *mecA*، *nuc* Multiplex PCR به مدت ۴ دقیقه و برای ژن‌های *nuc* و *femB* PCR ژن‌های *cna* و *fnb* به مدت ۵ دقیقه انتخاب شد. برای ارزیابی محصول PCR از ژل آگارز ۱٪ استفاده شد (۱۵).

۸۷/۵۰٪، ۹۱/۶٪، ۹۱/۹٪ در صد بود. فراوانی زنگنهای *cna* و *fnb* به ترتیب در سویه‌های *MRSA* بالینی ۸۵/۴٪ و ۹۲/۷٪ و در سویه‌های *MSSA* بالینی ۷۷/۲٪ و ۴۲/۴٪ بود. همچنین فراوانی این زنگنهای ترتیب در سویه‌های *MRSA* بینی ۳۲/۶٪ و ۹۱/۱٪ در سویه‌های *MSSA* بینی ۱۲/۷٪ و ۴۶/۶٪ بود.

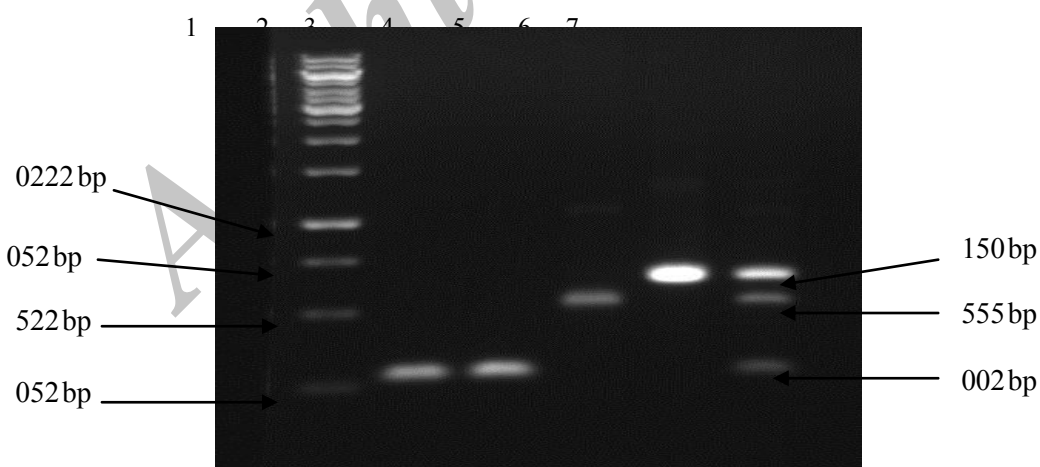
به سوختگی (7مورد) مشاهده شد. ژن *fnb* در هیچیک از ایزوولهای جدا شده از آبسه های پوستی، باکتریومی و سپتی سمی یافت نشد.

فراروانی ژن *fbn* در نمونه های زخم، خون، ادرار، مایعات بدن، لوله راشه، نازوفارانکس و آب سه به ترتیب $۰/۲۳$ ، $۱/۷۹$ ، $۰/۲۵$ ، $۰/۴۸$ ، $۰/۴۰$ و $۰/۴۷$ به ترتیب *cna* و ژن *fbn* در نمونه های زخم، خون، ادرار، مایعات بدن، لوله راشه، نازوفارانکس و آب سه به ترتیب $۰/۲۳$ ، $۱/۷۹$ ، $۰/۲۵$ ، $۰/۴۸$ ، $۰/۴۰$ و $۰/۴۷$ به ترتیب *cna* و *fbn*

جدول ۱: نتایج پرایمرهای به کار رفته در آزمایش PCR در ایزوله های استافیلوکوکوس اورئوس جدا شده از نمونه های بالینی و بینی

منابع	اندازه باند بر حسب bp	توالی اختصاصی	زن
۱۱	۷۴۴	forward: 5'-AGT GGT TAC TAA TAC TG-3 reverse : 5'- CAG GAT AGA TTG GTT T	cna
۱۰	۱۲۷۹	forward: 5'-CAC AAC CAG CAA ATA TAG-3 reverse : 5'-CTG TGT GGT AAT CAA TGTC-3	fmb
۱۴	۲۷۰	<i>nuc-1</i> : 5' GCG ATT GAT GGT GAT ACG GTT-3 <i>nuc-2</i> : 5' AGC CAA GCC TTG ACG AAC TAA AGC-3	nuc
۱۳	۵۳۳	<i>mecA-1</i> : 5' AAA ATC GAT GGT AAA GGT TGG C-3 <i>mecA-2</i> : 5' AGT TCT GCA GTA CCG GAT TTG C-3	mecA
۱۲و۱۱	۶۵۱	<i>femB-1</i> : 5' TTA CAG AGT TAA CTG TTA CC-3 <i>femB-2</i> : 5' ATA CAA ATC CAG CAC GCT CT-3	femB

جدول ۲: مراحل تکثیر زن های مورد مطالعه در روش های PCR و Multiplex-PCR در ابیوه های *S. aureus* جدا شده از نمونه های بالینی و بینی



شکل ۱: نتایج شناسایی ژن های *nuc*, *femB* و *mecA* در سویه های بالینی مختلف و بینی بیماران با PCR مولتیپلکس.

ستون ۱: سایز مارکر (kb Ladder۱)

ستون: ۲: پاند مربوط به کترل مشبت ژن *nuc* سویه ۲۹۲۱۳ *S.aureus* ATCC

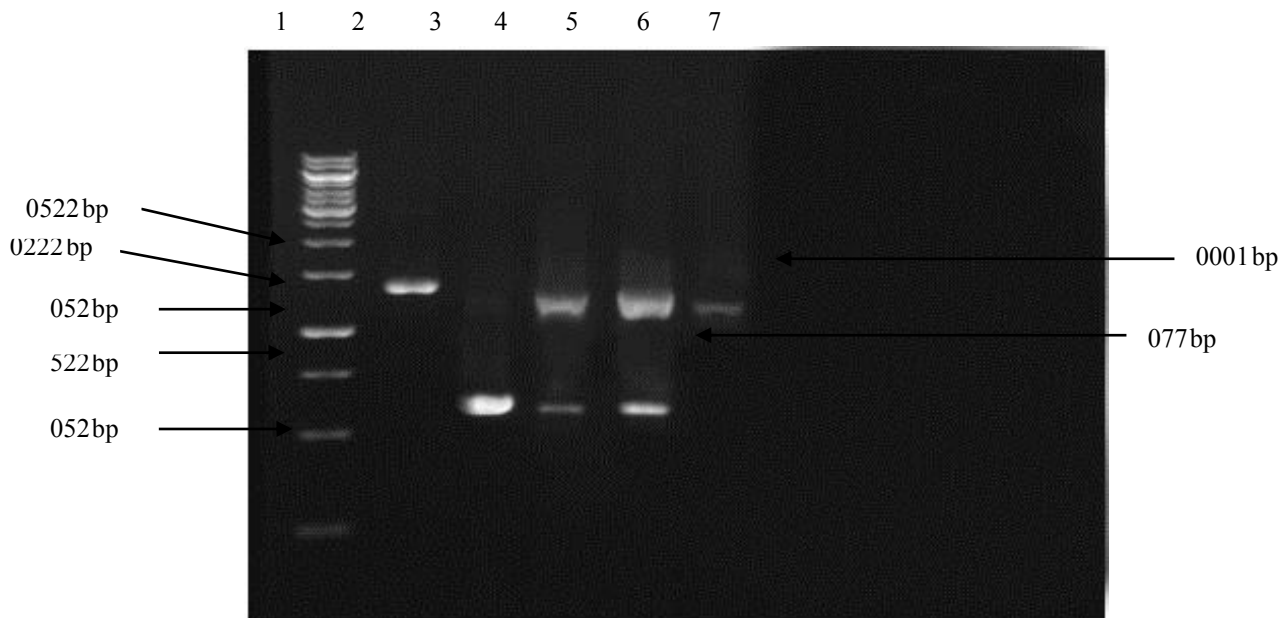
ستون ۳: باند مریوط به زن *nuc*

ستون ۴: باند مربوط به زن *mecA*

femB: بازدید مربوط به زن

ستون ۶: باند مربوط به رن *femB*

سیو ۱: باند مربوط به ربهای *am*
ستهون ۷: کتاب منف (*An* دینه نیزه)

شکل ۲: نتایج شناسایی ژن های *fnb*, *cna* در سویه های بالینی و بینی

ستون ۱: سایز مارکر (kb Ladder)

ستون ۲: باند مربوط به ژن *fnb*ستون ۳: باند مربوط به ژن *cna*ستون ۴: باند مربوط به ژن های (*fnb, cna*)ستون ۵: باند مربوط به ژن های (*fnb, cna*)ستون ۶: باند مربوط به ژن (*fnb*)

ستون ۷: کنترل منفی (آب دیونیز)

بحث

عمل مtí سیلین مقاوم است. ستر PBP2a تنظیمی بوده و به طور معمول در سطح پایین نگه داشته می شود، اما در صورتی که در ژن های تنظیمی، موتابیون رخ دهد، سطح ستر می تواند افزایش یابد. ردیابی ژن *mecA* و یا محصول آن PBP2a، به عنوان استاندارد طلایی در شناسخت ایزوله های مقاوم به مtí سیلین در نظر گرفته شد. CLSI نشان داده است که دیسک دیفیوژن با استفاده از دیسک سفوکسیتین از اکثر آزمایشات فنوتیپی قبلی بهتر می باشد (۱۷).

در این تحقیق با استفاده از دیسک اگزاسیلین در نمونه های بالینی و بینی به ترتیب ۶۴/۶۳٪ و ۲۳/۲۵٪ و با استفاده از دیسک سفوکسیتین، به ترتیب ۲۴/۵۱٪ و ۵۶/۷۰٪ مقاومت به مtí سیلین شناسایی شد. این نتایج با روش PCR به ۴۵/۴۵٪ و ۲۲/۹٪ تقلیل یافت. مغایرتی که بین نتایج حاصل از دیسک اگزاسیلین (۱ μ g) و سفوکسیتین (۳۰ μ g) PCR مشاهده شد ممکن است به خاطر کیفیت دیسک های خردباری شده از خارج از کشور یا به خاطر شرایط مختلف کشت بوده باشد. مشابه با نتایج به دست آمده در این تحقیق، در مطالعه Pereira و همکارانش در سال ۲۰۰۹ در پرتغال بر روی ۱۴۸ سویه

مطالعات بسیاری در دسترس است که اهمیت حمل *S. aureus* در بینی را به عنوان یک ریسک فاکتور برای ایجاد عفونت زخم پس از جراحی ارزیابی کرده اند. در این تحقیق، بیماران بخش جراحی قلب قبل از مصرف هر گونه آنتی بیوتیک، از نظر حامل بودن بررسی شدند. ۴۶/۴۲٪ از این بیماران به عنوان حامل *S. aureus* شناخته شدند که در مقایسه با گزارش Kluytmans و همکارانش ۲۰٪ فراوانی بسیار بالایی را نشان داده است (۱۶).

از اواخر دهه ۱۹۵۰ سویه های *S. aureus* مقاوم به بنزیل پنی سیلین باعث افزایش نگرانی ها شد. این سویه ها به طور تیپیک آنزیمی به نام بتالاکتاماز تولید می کنند. تلاش هایی جهت ستر مثبتات پنی سیلین که به هیدرولیز بتالاکتاماز مقاوم باشند صورت گرفت. در سال ۱۹۵۹ با ستر مtí سیلین به این هدف دست یافتدند. متأسفانه، به محض استفاده بالینی مtí سیلین، ایزوله های *S. aureus* مقاوم به مtí سیلین (MRSA) ظاهر شدند که مقاومت آنها به خاطر تولید بتالاکتاماز نبوده بلکه به دلیل بیان یک پروتئین متصل شونده به پنی سیلین (PBP2a) اکتسابی از سایر گونه ها بود. مکانیسم اصلی مقاومت به مtí سیلین در *S. aureus* به واسطه بیان یک PBP بیگانه، (PBP2a) می باشد که به

که شیوع فاکتورهای ویرولانس در ایزوله های MRSA و MSSA جدا شده از خون با یکدیگر متفاوت بوده و شیوع این فاکتورها در MSSA به طور قابل توجهی بیشتر از MRSA می باشد ($P=0.041$). در حالی که این شیوع در سویه های MRSA و MSSA جدا شده از بینی، یکسان می باشد (۱).

فاکتورهای ویرولانس در ایجاد عفونت و بیماری، همچنین در پایداری و انتشار باکتری نقش به سزاگی را دارند (۲۲). دو خصوصیت قابل توجه *S.aureus* آن است که فاکتورهای ویرولانس آن ممکن است اعمال مختلفی را در بیماریابی انجام دهند و دوم اینکه ممکن است چندین فاکتور ویرولانس یک عمل مشابه را انجام دهند (عو). در این تحقیق حضور فاکتورهای ویرولانس *Cna*, *FnB* و ژن های مربوط به آن ها در *S.aureus* در ارتباط با عفونت های خاص و کلونیزاسیون باکتری در ارگانیسم میزان به منظور پیش بینی سویه های خطرناک بالقوه بررسی شد. همچنین این فاکتورها را در سویه های MRSA و MSSA بالینی و بینی بررسی و مقایسه شد.

بر اساس مطالعات انجام شده به وسیله محققین نشان داده شده که ژن فاکتورهای ویرولانس انتخاب شده، در سویه های مهاجم بیشتر یافت می شوند و دارای اهمیت بیشتری می باشند (۲۳). همچنین حمل *S.aureus* در بینی به عنوان ریسک فاکتور برای ایجاد عفونت زخم پس از جراحی ارزیابی شده است (۱۶). لذا در این تحقیق حضور فاکتورهای ویرولانس *Cna* و *FnB* در سویه های بالینی و بینی بررسی شد.

مدل های آزمایشگاهی نشان می دهند که بیان رسپتورها برای فیرونکتین با آندوکاردیت مرتبط است در حالی که حضور ادھرین ها برای کلاژن، با آرتریت و استئومیلیت ارتباط دارد (۱۱ و ۱۶). *Roseline Therrien* و همکارانش در سال ۲۰۰۷ اثبات کردند پروتئین متصل شونده به کلاژن (*Cna*) اصلی ترین و مهمترین ادھرین *S.aureus* است که مسئول اتصال محکم به کلاژن می باشد و عمله ترین فاکتور ویرولانس در عفونت و بیماری می باشد. آنها شیوع ژن *cna* را بین ۵۶-۰٪ در ایزوله ها بیان کردند (۲۴). در مطالعه حاضر در بیش از ۸۰٪ سویه های بالینی ژن *cna* شناسایی شد در حالی که تنها در ۲۹/۱۷٪ سویه های بینی این ژن وجود داشت. ژن *cna* به ترتیب در سویه های جدا شده از آرتریت عفونی، استئومیلیت و آندوکاردیت شیوع بالاتری داشت. به ترتیب نمونه های نازوفارنیکس، ادرار، زخم، خون و لوله تراشه بیشترین فراوانی ژن *cna* را داشتند. *Van Leeuwen* و همکارانش در هلند نشان دادند که در مقایسه با ایزوله های کلونیزه کننده، ژن *cna* به ندرت در ایزوله های مهاجم مشاهده می شود. این در حالی است که *Peacock* و همکارانش نشان دادند ژن *cna* در بین ایزوله های مهاجم بیشتر یافت می شود (۲۵). در سال ۲۰۰۹، *Ruud H Deurenberg*

S.aureus ۳۸٪ سویه ها مقاوم به اگزاسیلین بودند در حالی که تنها ۶۸٪ سویه ها حضور ژن *mecA* را نشان دادند (۱۸).

امروزه تنها وسیله استاندارد شناسایی مقاومت به متیسیلین در آزمایشگاه های میکروبیولوژی بالینی، تست های حساسیت مانند دیسک دیفیوژن آکار یا روش های تعیین رقت و غربالگری آکار است. انجام این تستها اشکالات زیادی دارد زیرا فاکتورهایی مانند مقدار تلقیح، PH محیط کشت و غلظت نمک محیط کشت و قرارگیری در معرض آنتی بیوتیک های بتالاکتان، بیان فوتیبی مقاومت را تحت تأثیر قرار می دهد. شناسایی صحیح و سریع *S.aureus* و الگوی حساسیت به متیسیلین آن، پیچیدگی های قابل توجهی برای معالجه و مدیریت بیماران کلونیزه شده و عفونی دارد. سایر فاکتورهای بارز کروموزومی مانند اپرون *FemA-FemB*، که همانند ژن های تنظیم کننده عمل می کنند، برای بیان مقاومت به متیسیلین در *S.aureus* ضروری هستند. به نظر می رسد همکاری *femA* و *femB* و *mecA* لازم می باشد، اما مکانیسم آن به خوبی شناخته شده نیست. به نظر می رسد به طور جالب توجهی یک فاکتور بی نظیر برای *S.aureus* باشند که در سایر گونه های استافیلوکوکوس یافت نمی شوند (۱۹). بنابراین ردیابی همزمان ژن های *femA* و *femB* و *mecA* در یک میکروتیوب PCR مزیت شناسایی همزمان سویه و مقاومت فوتیبی آن را دارد. لذا، در این تحقیق *mecA* و *femB* و *nuc* همچنین *S.aureus* از نظر حضور ژن های با استفاده از روش PCR و Multiplex PCR با استراتژی مناسب برای تشخیص افتراقی سریع و اختصاصی *MSSA* و *MRSA* مورد مطالعه واقع شدند و ارتباط کامل بین بیان ژن *femB* در سویه های نوکلئاز مثبت یافت شد. این اطلاعات تأیید می کنند که بیان *femB* یک خصوصیت بی نظیر است که اجازه ردیابی اختصاصی آن را می دهد. *S.aureus* Vannuffel, Geha, Murakami and (۲۰ و ۲۱). بر اساس نتایج به دست آمده، استراتژی Multiplex PCR می تواند اطلاعات سریع و منطقی را نه تنها برای شناسایی باکتری های بیماریزا بلکه برای مدیریت درمان به پزشکان بدهد. در مطالعه حاضر، فراوانی سویه های *MRSA* در نمونه های زخم، خون و لوله تراشه بیشتر از سویه های *MSSA* بود. مطالعات متعددی جهت ارزیابی بیماریزایی سویه های *MRSA* نسبت به *MSSA* صورت گرفته است و نتایج متفاوتی گزارش شده است. برخی محققین قائل بر بیماریزایتر بودن سویه های *MRSA* هستند در حالی که سایرین معتقدند که این سویه ها از نظر حمل ژن های فاکتورهای ویرولانس و از نظر بیماریزایی تفاوتی با یکدیگر ندارند (۲۲ و ۱). در سال ۲۰۰۹، *Kyong Ran Peck* با ایزوله جدا شده از سواب بینی حاملین را از نظر شیوع برخی فاکتورهای ویرولانس با هم مقایسه کردند و نشان دادند

نشان دادند پروتئین متصل شونده به فیرونکتین (FnBA) در ایزوله‌های جدا شده از آندوکاردیت عفونی، پنومونی حاصل از مکانیسم تهدید و شوک سپتیک حضور دارد. آن‌ها اثبات کردند FnBP و ClfA دو فاکتور ویرولانس مهم در آندوکاردیت عفونی هستند (۲۹).

Michael W.Ellis و همکارانش بر روی نمونه‌های بینی سربازان مطالعه نموده و نشان دادند در ۳/۹٪ نمونه‌ها، ایزوله‌های *S.aureus* کلونیزه شده اند (۳۰). همچنین Wertheim و همکارانش نشان دادند افرادی که *S.aureus* در بینی آنها کلونیزه می‌شود؛ در معرض خطر افزایش یافته‌ای برای گسترش عفونت های *S.aureus* هستند (۲۶). در سال ۲۰۰۸، Rachel J Gordon و همکارانش در مورد بیماری‌ای سویه‌های *S.aureus* مقاوم به متی سیلین مطالعه‌ای انجام و نشان دادند که تقریباً ۲۰٪ افراد به طور دائمی و ۳۰٪ به طور متناوب *S.aureus* در بینی شان کلونیزه شده است (۲۲).

با مقایسه فاکتورهای ویرولانس در ایزوله‌های MRSA و MSSA بالینی و بینی در تحقیق حاضر نشان داد که هم در سویه‌های بالینی و هم در سویه‌های بینی، شیوع فاکتورهای ویرولانس در سویه‌های MRSA بیشتر از MSSA می‌باشد. در سال ۲۰۰۹، Kyong Ran Peck و همکارانش، در مطالعه روى ارگانیسم‌های جدا شده از خون و سواب بینی نشان دادند که شیوع فاکتورهای ویرولانس در ایزوله‌های MRSA و MSSA جدا شده از خون با یکدیگر متفاوت بوده و شیوع این فاکتورها در MSSA به طور قابل توجهی بیشتر از MRSA می‌باشد ($P=0.041$) در حالی که این شیوع در سویه‌های MRSA و MSSA جدا شده از بینی، یکسان می‌باشد (۱). توجه به این نکته که شیوع بالاتر هر دو فاکتور ویرولانس مورد بررسی در این مطالعه در ایزوله‌های MRSA که دارای مقاومت و پایداری بیشتر

می‌باشد حائز اهمیت می‌باشد. این نتایج با نتایج حاصل از مطالعه Van Leeuwen و همکارانش در هلند متفاوت می‌باشد؛ ایشان اعلام کردند هیچ تفاوت مهمی بین میزان ایزوله‌های MRSA و MRSA از انواع مختلف عفونت‌های پوست و بافت نرم وجود ندارد.

نتیجه‌گیری

نتایج این مطالعه نشان می‌دهند که جهت ردیابی سویه‌های MRSA با استفاده از روش دیسک دیفیوژن آگار و آنتی بیوتیک های اگرکاسیلین و سفوکسی تین حدود ۲۲٪ نتایج مشتب کاذب وجود دارد که نیاز به ردیابی مولکولی ژن *mecA* را روشن می‌نماید. بکار بردن ژن های *nuc* و *femB* در یک تست همزمان با روش PCR Multiplex سویه‌های *S.aureus* کمک می‌کند بلکه در ردیابی اختصاصی و سریع سویه‌های MRSA نیز مفید می‌باشد. به جز ۷ سویه

MSSA و ۲۲٪ ایزوله‌های MRSA ژن *cna* را شناسایی کردند (۲۶). نتایج به دست آمده در تحقیق حاضر حاکی از آن است که حضور ژن *cna* در ایزوله‌های MRSA بیشتر از MSSA می‌باشد (هم در سویه‌های بالینی و هم بینی) که این مسئله ممکن است از نظر مقاومت باکتری و ایجاد عفونت حائز اهمیت باشد. در بررسی ژن *fnb* به عنوان یک فاکتور ویرولانس دیگر در این مطالعه، این ژن در ۶۵/۲۹٪ سویه‌های بالینی و ۵۴/۶۷٪ سویه‌های بینی شناسایی شد که این نتایج با تحقیق Peacock و Mongodin (۲۵ و ۲۷) همخوانی داشته و لی در تضاد با Nashev و Nozohoor (۲۸) می‌باشد. آن‌ها بیان کردند سویه‌های بینی و سویه‌های عفونت پوستی *S.aureus* ژن *fnbA* را با فراوانی بالایی تولید می‌کنند. در حالی که این ژن در سویه‌های بالینی این مطالعه بیشتر از سویه‌های بینی بوده و به ترتیب در بیماری‌های آندوکاردیت، استئومیلیت و زخم‌های مربوط به سوختگی شیوع بالاتری داشت. به ترتیب لوله تراشه، خون، زخم، مایعات بدن، آبسه، نازوفارنکس و ادرار بیشترین فراوانی ژن *fnbA* را داشتند. همچنین نتایج این مطالعه با مطالعه John A Wright (۲۰۰۹) نشان داد ژن *fnbA* نقش اصلی را در ایجاد عفونت در استخوان fnbB و fnbA را دارد (۱۰). Mongodin و Peacock نشان دادند *fnbA* و *fnbB* به طور قابل توجهی در بیماری‌های تهاجمی مثل آندوکاردیت، استئومیلیت، آرتربیت عفونی و پنومونی بیمارستانی دحالت دارند (۲۷). در سال ۲۰۰۵ Arciola و همکارانش حضور ژن *FnBA* را در ۹۸٪ ایزوله‌ها و ژن *cna* کدکننده پروتئین متصل شونده به کلاژن را در ۴۶٪ ایزوله‌های بالینی مرتبط با عفونت‌های Mouna Ben Nejma، همکارانش ۷۲ ایزوله MRSA را مطالعه کردند و ژن *fnbA* در موارد عفونت‌های پوستی (فورنکل‌ها و عفونت‌های زخم) و در موارد عفونت‌های تهاجمی (اویت و استئومیلیت) شناسایی کردند.

در سال ۲۰۰۸ Lowy و Gordon نشان دادند که ژن‌های *cna* و *fnb* با آندوکاردیت، استئومیلیت و آرتربیت عفونی در ارتباط می‌باشد (۲۲). Tristan Ferry و همکارانش، ارتباط فاکتورهای ویرولانس *S.aureus* با بیماری‌های بالینی مانند بیماری‌های مرتبه با توکسین، شوک سپتیک و عفونت‌های موضعی شدید مانند آرتربیت، آندوکاردیت عفونی و پنومونی نکروزه کننده را مورد مطالعه قرار دادند. آن‌ها نشان دادند که بیماری‌ای *S.aureus* در برخی از بیماریها مانند سلندرم شوک توکسیک و پنومونی نکروزه کننده گاهی اوقات عمده‌تاً به واسطه یک فاکتور ویرولانس ساده می‌باشد. در مقابل، در سایر بیماری‌های مربوط به *S.aureus* مانند شوک سپتیک فاکتورهای ویرولانس متعددی نقش دارند. آن‌ها همچنین پروتئین متصل شونده به کلاژن (Cna) را در ایزوله‌های جدا شده از آرتربیت و استئومیلیت، آندوکاردیت عفونی، پنومونی نکروزه کننده شناسایی نموده و

تقدیر و تشکر

از همکاری صمیمانه ریاست مرکز تحقیقات بیماریهای عفونی و گرمیسری، جناب آقای دکتر نقیلی و نیز از تمام پرسنل محترم آزمایشگاه میکروبیولوژی بیمارستان سینا و مرکز تحقیقات بیماریهای عفونی و گرمیسری دانشگاه علوم پزشکی در انجام این تحقیق و همچنین جناب آقای دکتر محمد رضا نهایی جهت راهنمایی های علمی ایشان، تشکر و قدردانی می شود.

بالینی و ۱۵ سویه بینی، همه سویه های MSSA و MRSA و جدا شده از نمونه های مختلف اعم از بالینی و بینی، دارای حداقل ۱ ژن فاکتورهای ویرولانس مورد بررسی بودند. به دلیل اینکه شیوع ترکیبات فاکتورهای ویرولانس در سویه های بالینی بیشتر از بینی بود می توان نتیجه گرفت که ممکن است حضور همزمان این فاکتورهای ویرولانس در تهاجم و بیماریزایی این سویه ها نقش داشته باشند و همچنین شیوع بیشتر فاکتورهای ویرولانس در سویه های MRSA نسبت به MSSA میتواند نشاندهنده نقش فاکتورهای ویرولانس مذکور در تهاجم و بیماریزایی این سویه ها باشد.

References

- Kyong RP, Jin Yang B. Comparison of Genotypes and Enterotoxines Genes between *Staphylococcus aureus* Isolates from Blood and nasal Colonizers in a Korean Hospital. *J Korean Med Sci* 2009; **24**: 585-591.
- Patti JM, Allen BL, McGavin MJ, Hook M. MSCRAMM mediated adherence of microorganisms to host tissues. *Annu Rev Microbiol* 1994; **48**: 585-617.
- Tung H. A bone Sialoprotein-binding protein from *Staphylococcus aureus*: a member of the staphylococcal Sdr family. *Biochem J* 2000; **345**: 611-619.
- Rivas JM, Brown EL, Liang X, Hook M. Virulence potential of the staphylococcal adhesin CAN in experimental arthritis is determined by its affinity for collagen. *J Infect Dis* 2004; **189**(12): 2323-2333.
- Jonsson KC, Signas H, Muller P, Lindberg M. Two different genes encode fibronectin binding proteins in *Staphylococcus aureus*: The complete nucleotide sequence and characterization of the second gene. *Eur J Biochem* 1991; **202**: 1041-1048.
- Johansson A. Collagen and fibronectin binding in experimental staphylococcal osteomyelitis. *Clin Orthop Relate Res* 2001; **382**: 241-246.
- Mac Faddin JF. *Biochemical tests for identification of medical bacteria*. 2nd ed. Baltimore/London, Williams and Wilkins; 2002, PP: 51.
- Clinical and Laboratory Standards Institute Performance Standards for Antimicrobial Susceptibility Testing: Document M100-S16, CLSI, Wayne, PA, USA, 2005.
- Mannuse Luis G. Mahun. *Text book of diagnostic microbiology*. 2nd ed. Philadelphia, Saundars Company, 2000; PP: 329-341.
- Wright JA, Nair SP. Interaction of Staphylococci with bone. *J Med Microbiol* 2009; **10**: 1003-1016.
- Sauer P. Prevalence of genes encoding extracellular virulence factors among meticillin-resistant *S. aureus* isolates from the university Hospital, Olomouc, Czech Republic. *J Med Microbiol* 2008; **57**: 403-410.
- Kobayashi N. Detection of *mecA*, *femA* and *femB* genes in clinical strains of Staphylococci using polymerase chain reaction. *Epidemiol infect* 1994; **113**: 259-266.
- Taweepon S, Chariya Ch, Kunyaluk Ch, Temduang L, Chaisiri W. Evaluation of different primers for detecting *mecA* gene by PCR in comparison with phenotypic Methods for discrimination of Methicillin-resistant *Staphylococcus aurous*, *Southeast Asian J Trop Med Public Health* 2002; **33**(4): 758-769.
- Murakami K, Minamide W, Wada K, Nakamura E, Traoka H. Identification of methicillin-resistant strains of Staphylococci by polymerise chain reaction. *J Clin Microbiol* 1991; **29**: 2240-2244.
- Sambrook J, Russell D. *Molecular cloning: A laboratory Manual*. 3rd ed. New York, Cold Spring Harbor laboratory press, 2001; PP: 84-85.
- Kluytmans JA, Moutpn JW, Ijzerman EP. Nasal Carriage of *Staphylococcus aureus* as a Major Risk Factor for Wound Infections after Cardiac Surgery. *The Journal of Infection Diseases* 1995; **171**: 216-219.
- Felten A, Grandry B, lagrange PH. Evaluation of three techniques for detection of low- level of methicillin-resistant *Staphylococcus aureus* (MRSA): a disk diffusion method with cefoxitin and moxalactam, the Vitek 2 system, and the MRSA-screen latex agglutination test. *J Clin Microbiol* 2002; **40**: 2766-2771.
- Pereira V, Lopes C, Castra A, Siliva J, Gibbs P. Characterization for enterotoxin production, virulence factors, and antibiotic susceptibility of *Staphylococcus aureus* isolates from various foods in Portugal. *Food Microbiology* 2009; **26**(3): 278-282.
- Berger-Bachi BL, Barberis-Maino A, Strassle, Kayser FH. *femA*, a host- mediated factor essential for Methicillin-resistance in *Staphylococcus aureus*:

- molecular cloning and characterization. *Mol Gen Genet* 1989; **219**: 263-269.
20. Mohanas oundaram KM, Lalitha MK. Comparison of phenotypic Versus genotypic methods in detection of methicillin – resistance in *Staphylococcus aureus*. *Indian Journal of Med Res* 2008; **127**: 78-84.
 21. Geha D, Uhl C, Gustaferro L, Persing DH. Multiplex PCR for identification of methicillin – resistant Staphylococci in the clinical laboratory. *J Clin Microbiol* 1994; **32**: 1764-1772.
 22. Gordon Rachel J, lowy franklin D. Pathogenesis of Methicillin- Resistant staphylococcus *aureus* Infection. *Clin Infect Dis* 2008; **46**: 5350-5359.
 23. Lina G, Piemont Y, Godail-Gamot F, Bes M, Peter M.O. Involvement of Panton–Valentine leukocidin–producing *S.aureus* in primary skin infections and pneumonia. *Clin Infect Dis* 1999; **29**: 1128–1132.
 24. Roseline T, lacasse P. Lack of protectin of mice agains *S.aureus* despite a signil-icant immune response to immunization with a DNA vaccine encoding collagen- binding protein. *Vaccine* 2007; **55**: 5053-5061.
 25. Peacock SJ, Moore CF, Day NP. Virulent combinations of adhesion and toxin genes in natural populations of *staphylococcus aureus*. *Infect Immun* 2002; **70**: 4987-4996.
 26. Deurenberg R. The *staphylococcus aureus* Lineage-specific markers collagen adhesion and toxic shock syndrome toxin 1 distinguish multilocus sequence Typing clonal complexes within spa clonal complexes. *Diagnostic Microbiol and Infect Dis* 2009; **65**: 116-122.
 27. Mongodin E, Bajolet O, Cutrona J. Fibronectin–binding proteins of *staphylococcus aureus* is involved in adherence to human airway epithelium. *Infect Immun* 2002; **70**: 620-630.
 28. Nashev D, Toshkora K. Distribution of virulence genes of *staphylococcus aureus* isolated from stable nasal carriers. *FEMS Microbiol Let* 2004; **233**: 450-520.
 29. Tristan F. Virulence Determinants in *Staphylococcus aureus* and Their Involvement in Clinical Syndromes. *Current Infectious Disease Reports* 2005; **7**: 420-428.
 30. Ellis MW, Griffitn ME, Jorgensen JH. Presence and Molecular Epidemiology of Virulence Factors in Methicillin – Resistant *staphylococcus aureus* strains colonizing and infecting soldiers. *J Clin Microbiol* 2009; **47**(4): 940-945.